

В. Э. Богачева

## ИССЛЕДОВАНИЕ ПРЕДЕЛА УПРУГОСТИ ТОНКОГО АДГЕЗИОННОГО СЛОЯ КОМПОЗИТА ПРИ ЕГО НАГРУЖЕНИИ НОРМАЛЬНЫМ ОТРЫВОМ

*Тульский государственный университет, г. Тула, Россия*

**Аннотация.** Исследуется деформирование под действием нормального отрыва композитной пластины, состоящей из двух консолей, связанных адгезионным слоем в состоянии плоской деформации. Из общей вариационной постановки с учетом теории Миндлина—Рейсснера получена постановка в дифференциальном виде. Исследуется аналитическое решение, полученное при комплексных корнях характеристического уравнения системы дифференциальных уравнений второго порядка. Используя критерий Треска—Сен-Венана, найдено значение внешней нагрузки, соответствующее пределу упругости и началу пластических деформаций в адгезионном слое.

**Ключевые слова:** адгезионный слой, композит, слой взаимодействия, нормальный отрыв, упругое деформирование, критерий Треска—Сен-Венана.

DOI: 10.37972/chgpu.2023.57.3.005

УДК: 539.375

**Введение.** В настоящее время происходит активное развитие такого раздела механики деформируемого твердого тела как механика композиционных материалов. При проведении экспериментов на трещиностойкость адгезионных слоев обычно исследуют двухконсольную балку (ДКБ-образец), а слой моделируют в виде математического разреза.

Однако адгезивы наряду с упругими свойствами могут проявлять и выраженные пластические свойства, поэтому необходимо использовать критерий перехода из упругого деформирования в упругопластическое. В этом случае рассмотрение определяющих соотношений адгезионного слоя приведет к более корректной постановке упругопластической задачи, что возможно только при конечной толщине адгезива [1–5]. В

---

© Богачева В. Э., 2023

*Богачева Виктория Эдуардовна*

e-mail: v.boga4eva2014@yandex.ru, аспирант кафедры вычислительной механики и математики, Тульский государственный университет, г. Тула, Россия.

Работа выполнена при поддержке госзадания Минобрнауки РФ (шифр FEWG-2023-0002).

Поступила 10.12.2023

данной работе используется модель, в которой адгезионный слой заменяют "слоем взаимодействия" [5] с механическими свойствами адгезива и толщиной в виде линейного параметра  $\delta_0$ .

**1. Постановка задачи.** Рассматривается образец в виде слоистого композита, общая длина которого  $\ell + a$  (рис. 1). Пластины 1 и 2 идентичны по механическим свойствам и имеют толщину  $h$ . По участку длиной  $\ell$  консоли связаны адгезионным слоем 3, толщина которого  $\delta_0$ . Правый торец композита закреплен от перемещений, на левых торцах пластин 1 и 2 действует антисимметричная распределенная нагрузка интенсивностью  $P$ .

Предполагается жесткое сцепление границ слоя с пластинами, а также равенство противоположность векторов напряжений по границам слоя.

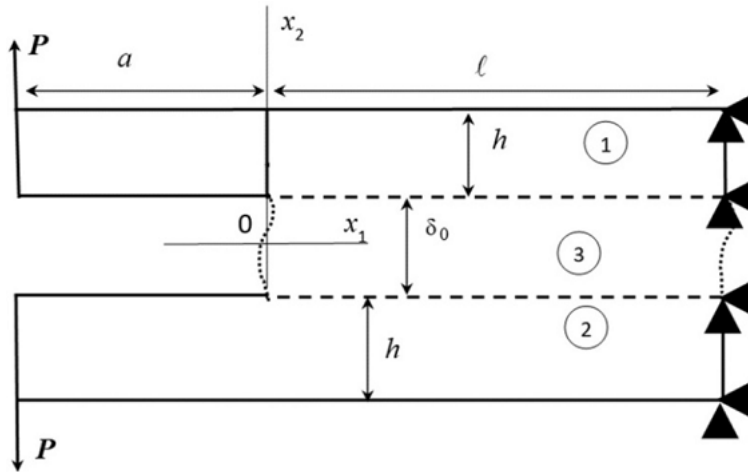


Рис. 1. Схема нагружения образца

На остальную поверхность композита не приложена внешняя нагрузка. Образец находится в состоянии плоской деформации. Поведение консолей 1 и 2 рассматриваем в рамках линейной теории упругости, а материал адгезионного слоя 3 считаем упругопластическим.

Для описания взаимодействия адгезионного слоя 3 с консолями 1 и 2 применим концепцию "слоя взаимодействия" [5]. В силу симметрии рассматриваемого образца получим следующее поле перемещений границ адгезива:  $u_1^+ = u_1^-$ ,  $u_2^+ = -u_2^-$ , где  $u_n^+$ ,  $u_n^-$  — соответственно компоненты векторов перемещений верхней и нижней границ,  $n = 1, 2$  здесь и далее, и нулевое касательное напряжение в слое  $\bar{\sigma}_{12} = 0$ . Поэтому запишем уравнение равновесия в вариационной форме только для пластины 1:

$$\int_{S_1} \boldsymbol{\sigma} \cdot \delta \boldsymbol{\varepsilon} ds + \int_{\ell} \bar{\sigma}_{22} \delta u_2^+ dx_1 + 0.5 \delta_0 \int_{\ell} \bar{\sigma}_{11} \frac{\partial \delta u_1^+}{\partial x_1} dx_1 = \int_{L_1} \mathbf{P} \cdot \delta \mathbf{u} dl, \quad (1)$$

где  $\cdot \cdot$  — двойное скалярное умножение;  $\cdot$  — скалярное умножение;  $S_1$  — площадь поперечного сечения тела 1;  $L_1$  — граница приложения внешней нагрузки для тела 1;  $\boldsymbol{\sigma}$ ,

$\varepsilon$  — тензоры напряжений и деформаций;  $\bar{\sigma}$ ,  $\bar{\varepsilon}$  — тензоры средних напряжений и деформаций адгезионного слоя с компонентами:  $\bar{\sigma}_{11} = \frac{1}{\delta_0} \int_{-0.5\delta_0}^{0.5\delta_0} \sigma_{11} dx_2$ ,  $\bar{\sigma}_{22} = \frac{1}{\delta_0} \int_{-0.5\delta_0}^{0.5\delta_0} \sigma_{22} dx_2$ ,  
 $\bar{\sigma}_{12} = \bar{\sigma}_{21} = \frac{1}{\delta_0} \int_{-0.5\delta_0}^{0.5\delta_0} \sigma_{21} dx_2$ ,  $\bar{\varepsilon}_{11}(x_1) = \frac{du_1^+}{dx_1}$ ,  $\bar{\varepsilon}_{22}(x_1) = \frac{2u_2^+}{\delta_0}$ ,  $\bar{\varepsilon}_{12} = \bar{\varepsilon}_{21} = 0$ .

Уравнение (1) замкнем законом Гука:

$$\sigma_{ij} = \frac{E}{1+\nu} \left( \varepsilon_{ij} + \frac{\nu}{1-2\nu} \varepsilon \delta_{ij} \right), \bar{\sigma}_{ij} = \frac{E_3}{1+\nu_3} \left( \bar{\varepsilon}_{ij} + \frac{\nu_3}{1-2\nu_3} \bar{\varepsilon} \delta_{ij} \right), \quad (2)$$

где  $E$ ,  $\nu$  — модуль упругости и коэффициент Пуассона консоли 1;  $E_3$ ,  $\nu_3$  — модуль упругости и коэффициент Пуассона адгезионного слоя 3;  $\varepsilon = \varepsilon_{11} + \varepsilon_{22} + \varepsilon_{33}$ ,  $\bar{\varepsilon} = \bar{\varepsilon}_{11} + \bar{\varepsilon}_{22} + \bar{\varepsilon}_{33}$  — объемные деформации;  $\delta_{ij}$  — символ Кронекера;  $i, j = 1, 2, 3$ .

Для того чтобы найти аналитическое решение вариационного уравнения (1), определяем поле перемещений в пластине 1 согласно теории Миндлина [6]:

$$\begin{aligned} u_1(x_1, x_2) &= u_1^+(x_1) - \varphi(x_1)(x_2 - \delta_0/2), \\ u_2(x_1, x_2) &= u_2^+(x_1). \end{aligned} \quad (3)$$

Учитывая теорию Миндлина—Рейсснера [7], из (2) получим вариант определяющих соотношений для консоли 1:

$$\sigma_{11} = D \left( \frac{du_1^+}{dx_1} - \frac{d\varphi}{dx_1}(x_2 - \delta_0/2) \right), \sigma_{12} = L \left( \frac{du_2^+}{dx_1} - \varphi \right), \quad (4)$$

где  $L = k \frac{E}{2(1+\nu)}$ ;  $k = \frac{5}{6}$ ;  $D = \frac{E}{(1-\nu^2)}$ ,  
и слоя взаимодействия:

$$\bar{\sigma}_{11} = D_1 \frac{du_1^+}{dx_1} + D_2 u_2^+, \bar{\sigma}_{22} = C_1 u_2^+ + C_2 \frac{du_1^+}{dx_1}, \bar{\sigma}_{33} = \nu_3 (\bar{\sigma}_{11} + \bar{\sigma}_{22}), \quad (5)$$

где  $D_1 = \frac{E_3(1-\nu_3)}{(1+\nu_3)(1-2\nu_3)}$ ;  $D_2 = \frac{2E_3\nu_3}{(1+\nu_3)(1-2\nu_3)\delta_0}$ ;  $C_1 = \frac{2D_1}{\delta_0}$ ;  $C_2 = \frac{\delta_0 D_2}{2}$ .

Таким образом, приходим к двум системам дифференциальных уравнений для пластины 1:

$$\begin{cases} \frac{dM_{11}}{dx_1} - Q_{12} = 0; \frac{dQ_{11}}{dx_1} = 0; \frac{dQ_{12}}{dx_1} = 0; x_1 \in [-a; 0), \\ \frac{dM_{11}}{dx_1} - Q_{12} = 0; \frac{dQ_{11}}{dx_1} + 0.5\delta_0 \frac{d\bar{\sigma}_{11}}{dx_1} = 0; \frac{dQ_{12}}{dx_1} = \bar{\sigma}_{22}; x_1 \in (0; \ell], \end{cases} \quad (6)$$

где  $Q_{11} = Dh \left( \frac{du_1^+}{dx_1} - \frac{h}{2} \frac{d\varphi}{dx_1} \right)$ ,  $Q_{12} = Lh \left( \frac{du_2^+}{dx_1} - \varphi \right)$ ,  $M_{11} = Dh^2 \left( \frac{1}{2} \frac{du_1^+}{dx_1} - \frac{h}{3} \frac{d\varphi}{dx_1} \right)$  — обобщенные силы и обобщенный момент.

Система (6) замкнута граничными условиями:

$$u_n^+|_{x_1=\ell} = 0, \varphi|_{x_1=\ell} = 0, M_{11}|_{x_1=-a} = 0, Q_{11}|_{x_1=-a} = 0, Q_{12}|_{x_1=-a} = -Q_2, \quad (7)$$

где  $Q_2 = P/b$ ,  $b$  — толщина образца в направлении нормали к рассматриваемому сечению (рис. 1),

и условия сопряжения в точке  $x_1 = 0$ :

$$\begin{aligned} u_n^+|_{x_1=-0} &= u_n^+|_{x_1=+0}, \varphi|_{x_1=-0} = \varphi|_{x_1=+0}, M_{11}|_{x_1=-0} = M_{11}|_{x_1=+0}, \\ Q_{11}|_{x_1=-0} &= (Q_{11} + 0.5\delta_0 \bar{\sigma}_{11})|_{x_1=+0}, Q_{12}|_{x_1=-0} = Q_{12}|_{x_1=+0}. \end{aligned} \quad (8)$$

Для анализа напряженно-деформированного состояния слоя можно ограничиться рассмотрением только участка  $(0; \ell]$ , используя следующие граничные условия:

$$\begin{aligned} u_n^+|_{x_1=\ell} = 0, \varphi|_{x_1=\ell} = 0, M_{11}|_{x_1=+0} = -Q_2 a, \\ (Q_{11} + 0.5\delta_0\bar{\sigma}_{11})|_{x_1=+0} = 0, Q_{12}|_{x_1=+0} = -Q_2. \end{aligned} \quad (9)$$

Решение поставленной задачи определяет три неизвестные функции  $u_1^+$ ,  $u_2^+$ ,  $\varphi$ .

**2. Решение упругой задачи.** В работе [8] найдено общее решение системы (6) на участке  $(0; \ell]$  для таких толщин адгезионного слоя  $3$ , при которых дискриминант характеристического уравнения системы (6) отрицательный  $d = (m_2 + m_1 m_3 + m_4)^2 - 4m_2 m_4 < 0$ , где  $m_1 = 1 + \frac{DhC_2}{2LS_2}$ ;  $m_2 = \frac{1}{Lh} \left( C_1 - \frac{\delta_0 D_2 C_2}{2S_2} \right)$ ;  $m_3 = -\frac{3(\delta_0 D_2 Dh + 4LS_2)}{Dh(4hS_2 - 3Dh^2)}$ ;  $m_4 = \frac{12LS_2}{Dh(4hS_2 - 3Dh^2)}$ ;  $S_2 = Dh + 0.5\delta_0 D_1$ . Данное решение имеет вид:

$$\begin{aligned} u_1^+ = \tilde{C}_2 e^{R_1 x_1} \begin{bmatrix} -R_9 \cos(R_2 x_1) + \\ + R_{10} \sin(R_2 x_1) \end{bmatrix} + \tilde{C}_3 e^{R_1 x_1} \begin{bmatrix} R_{10} \cos(R_2 x_1) + \\ + R_9 \sin(R_2 x_1) \end{bmatrix} - \\ - \tilde{C}_4 e^{-R_1 x_1} \begin{bmatrix} R_9 \cos(R_2 x_1) + \\ + R_{10} \sin(R_2 x_1) \end{bmatrix} + \tilde{C}_5 e^{-R_1 x_1} \begin{bmatrix} -R_{10} \cos(R_2 x_1) + \\ + R_9 \sin(R_2 x_1) \end{bmatrix} + \\ + \left[ \frac{\delta_0 D_2 C_2}{2S_2 (C_1 S_2 - 0.5\delta_0 D_2 C_2)} + \frac{1}{S_2} \right] \tilde{C}_1 x_1 + \tilde{C}_6, \end{aligned} \quad (10)$$

$$\begin{aligned} u_2^+ = \tilde{C}_2 e^{R_1 x_1} \begin{bmatrix} R_1 \cos(R_2 x_1) - \\ - R_2 \sin(R_2 x_1) \end{bmatrix} - \tilde{C}_3 e^{R_1 x_1} \begin{bmatrix} R_2 \cos(R_2 x_1) + \\ + R_1 \sin(R_2 x_1) \end{bmatrix} - \\ - \tilde{C}_4 e^{-R_1 x_1} \begin{bmatrix} R_1 \cos(R_2 x_1) + \\ + R_2 \sin(R_2 x_1) \end{bmatrix} + \tilde{C}_5 e^{-R_1 x_1} \begin{bmatrix} -R_2 \cos(R_2 x_1) + \\ + R_1 \sin(R_2 x_1) \end{bmatrix} - \\ - \frac{C_2}{C_1 S_2 - 0.5\delta_0 D_2 C_2} \tilde{C}_1, \end{aligned} \quad (11)$$

$$\begin{aligned} \varphi = -\tilde{C}_2 e^{R_1 x_1} \begin{bmatrix} R_3 \cos(R_2 x_1) + \\ + R_4 \sin(R_2 x_1) \end{bmatrix} + \tilde{C}_3 e^{R_1 x_1} \begin{bmatrix} -R_4 \cos(R_2 x_1) + \\ + R_3 \sin(R_2 x_1) \end{bmatrix} + \\ + \tilde{C}_4 e^{-R_1 x_1} \begin{bmatrix} -R_3 \cos(R_2 x_1) + \\ + R_4 \sin(R_2 x_1) \end{bmatrix} + \tilde{C}_5 e^{-R_1 x_1} \begin{bmatrix} R_4 \cos(R_2 x_1) + \\ + R_3 \sin(R_2 x_1) \end{bmatrix}, \end{aligned} \quad (12)$$

где  $\alpha = \frac{m_2 + m_1 m_3 + m_4}{2}$ ;  $\beta = \frac{\sqrt{-d}}{2}$ ;  $R_1 = \sqrt{\frac{\alpha^2 + \beta^2 + \alpha}{2}}$ ;  $R_2 = \sqrt{\frac{\alpha^2 + \beta^2 - \alpha}{2}}$ ;  $R_3 = \frac{m_2 - R_1^2 + R_2^2}{m_1}$ ;  $R_4 = \frac{2R_1 R_2}{m_1}$ ;  $R_5 = \frac{Dh^2(R_1 R_3 + R_2 R_4) + \delta_0 D_2 R_1}{2S_2}$ ;  $R_6 = \frac{Dh^2(R_2 R_3 - R_1 R_4) + \delta_0 D_2 R_2}{2S_2}$ ;  $R_7 = \frac{R_1}{R_1^2 + R_2^2}$ ;  $R_8 = \frac{R_2}{R_1^2 + R_2^2}$ ;  $R_9 = R_5 R_7 + R_6 R_8$ ;  $R_{10} = R_6 R_7 - R_5 R_8$ .

Чтобы найти константы интегрирования  $\tilde{C}_1, \tilde{C}_2, \tilde{C}_3, \tilde{C}_4, \tilde{C}_5, \tilde{C}_6$ , нужно решить систему из 6 уравнений (9).

Рассмотрим образец с геометрическими характеристиками:  $a = 0.055$  м,  $h = 0.0127$  м,  $b = 0.025$  м,  $\delta_0 = 10^{-3}$  м,  $\ell = 0.2$  м. Механические свойства консоли примем следующими:  $E = 2.04 \cdot 10^{11}$  Па,  $\nu = 0.33$ , а механические и прочностные характеристики для

адгезионного слоя 3 приведены в таблице 1 [9], где  $\tau_0$  — предел текучести;  $P_{cr}$  — экспериментальное значение внешней нагрузки при инициализации трещины в адгезиве толщиной  $\delta_0 = 10^{-3}$  м [9].

Адгезив	$E_3$ , Па	$\nu_3$	$\tau_0$ , МПа	$P_{cr}$ , Н
Araldite AV138	$4.9 \cdot 10^9$	0.35	25.1	1100
Araldite 2015	$1.85 \cdot 10^9$	0.33	14.6	1500
Sikaforce 7752	$0.49 \cdot 10^9$	0.3	5.2	3100

Таблица 1. Механические и прочностные характеристики адгезивов

На рис. 2 построены графики напряжений адгезионного слоя (5) Araldite AV138, на рис. 3 — Araldite 2015, на рис. 4 — Sikaforce 7752. Кривая 1 (сплошная линия) соответствует  $\bar{\sigma}_{22}$ , кривая 2 (пунктирная линия) —  $\bar{\sigma}_{11}$ , кривая 3 (линия из точек) —  $\bar{\sigma}_{33}$ .

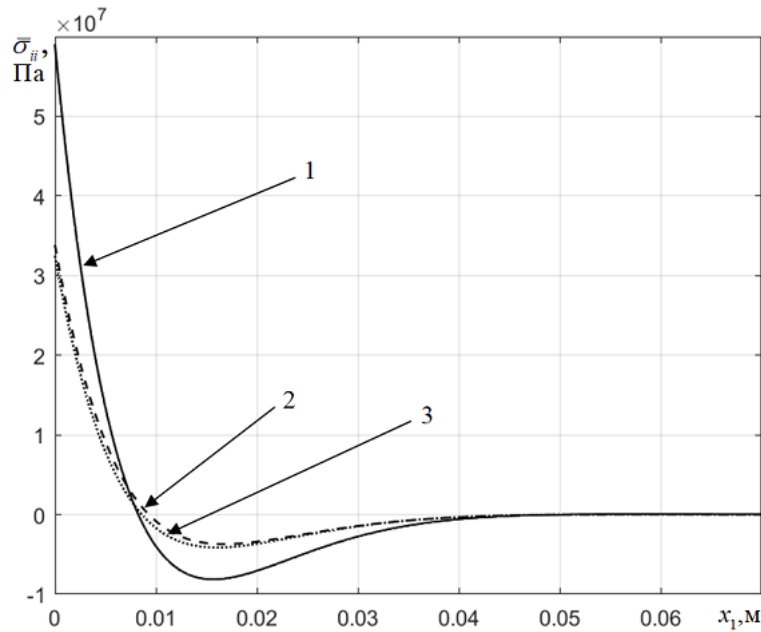


Рис. 2. Напряжения в адгезионном слое Araldite AV138

Из рис. 2–4 видно, что свойства адгезива и значение внешней нагрузки существенно влияют на напряженное состояние в адгезионном слое 3.

**3. Нахождение предела упругости.** Будем считать, что адгезив начинает проявлять пластические свойства, когда выполняется условие Треска–Сен-Венана [10]. В силу антисимметрии касательных компонент тензора напряжений для рассматриваемого образца (рис. 1) тензор средних напряжений слоя будет иметь диагональный вид. При нагружении нормальным отрывом композита в состоянии плоской деформации максимальным главным напряжением является  $\bar{\sigma}_{22}$ . А минимальное главное напряжение  $\bar{\sigma}_m$  определим из решения упругой задачи. Из рис. 2–4 видно, что  $\bar{\sigma}_m = \bar{\sigma}_{33}$ . Получим условие текучести в следующем виде:

$$\bar{\sigma}_{22} - \bar{\sigma}_{33} = 2\tau_0. \quad (13)$$

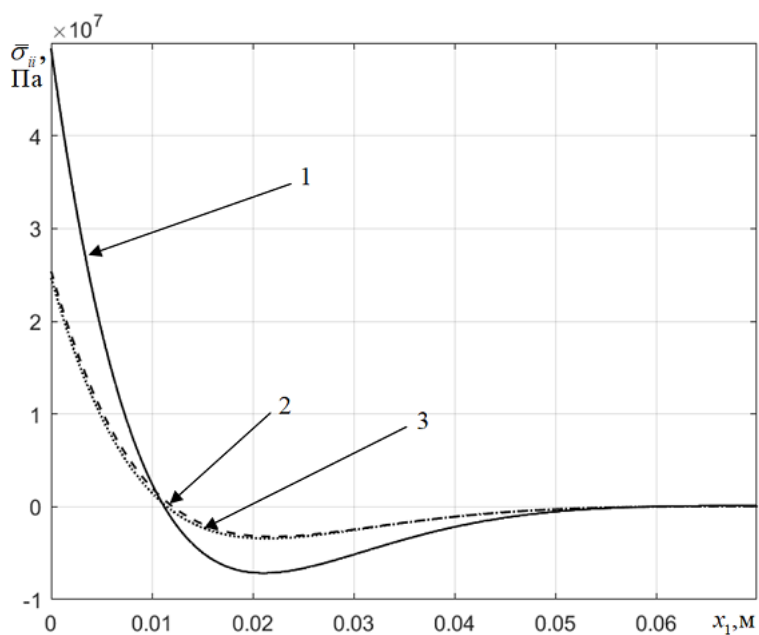


Рис. 3. Напряжения в адгезионном слое Araldite 2015

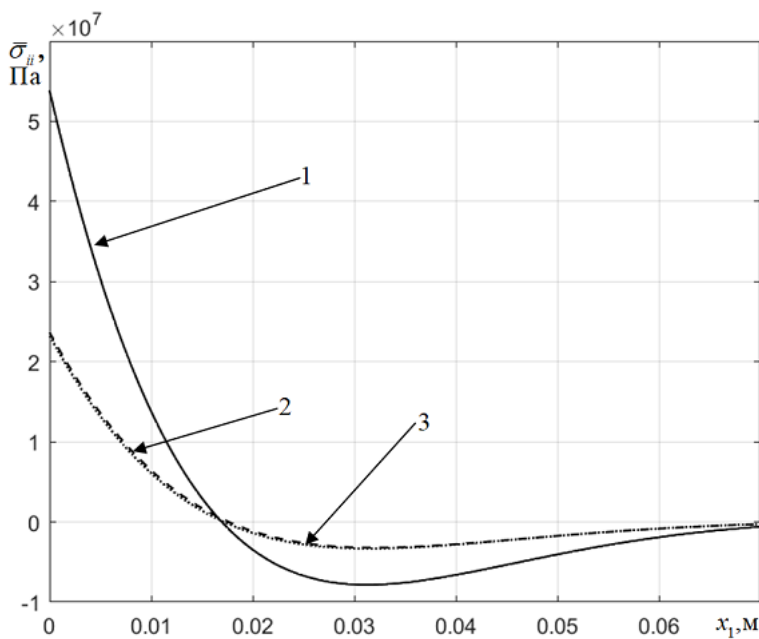


Рис. 4. Напряжения в адгезионном слое Sikaforce 7752

Для нахождения постоянных интегрирования и силы  $Q_2$ , обеспечивающей переход адгезионного слоя в состояние пластического деформирования, необходимо решить систему из 7 уравнений (9), (13).

В результате получаем для адгезива Araldite AV138 значение  $P = 1096$  Н, для Araldite 2015 –  $P = 911$  Н, для Sikaforce 7752 –  $P = 534$  Н. Сравнивая полученные

результаты с экспериментальными значениями внешней нагрузки при инициализации трещины в адгезиве  $P_{cr}$  (таблица 1), видим, что в хрупком адгезионном слое Araldite AV138 пластические деформации только начинаются и в целом ими можно пренебречь, ограничившись рассмотрением только упругой постановки задачи. А для умеренно пластичного адгезива Araldite 2015 и пластичного полиуретана Sikaforce 7752 необходимо рассмотреть постановку задачи с пластикой, для того чтобы получить результаты, соответствующие проведенному эксперименту [9].

В статье [11] приводится решение упругопластической задачи для случая плоского деформируемого и плоского напряженного состояния адгезионного слоя при относительно больших значениях  $\ell/\delta_0 \rightarrow \infty$ .

**Заключение.** На основе вариационной постановки задачи о равновесии двух тел, сопряженных тонким слоем получена упрощенная постановка задачи в дифференциальном виде. Приведено аналитическое решение. Используя критерий Треска—Сен-Венана, найдено значение внешней нагрузки, соответствующее пределу упругости и началу пластических деформаций в адгезионном слое. Для адгезива Araldite AV138 можно ограничиться полученным аналитическим решением упругой задачи, для Araldite 2015 и Sikaforce 7752 нужно рассмотреть упругопластическую постановку задачи, для того чтобы получить корректные результаты.

#### ЛИТЕРАТУРА

- [1] Prandtl L., Knauss W. G. A thought model for the fracture of brittle solids // *International Journal of Fracture*. 2011. Vol. 171, no. 2. P. 105–109.
- [2] Ентов В. М., Салганик Р. Л. К модели хрупкого разрушения Прандтля // *Известия Академии наук СССР. Механика твердого тела*. 1968. № 6. С. 87–99.
- [3] Салганик Р. Л., Мищенко А. А., Федотов А. А. Напряженное состояние в окрестности выработки, пройденной в глубокозалегающем горизонтальном пласте // *Физико-технические проблемы разработки полезных ископаемых*. 2015. № 2. С. 24–33.
- [4] Макклиток Ф. Пластические аспекты разрушения // *Разрушение*. Москва: Мир, 1975. Т. 3. С. 67–262.
- [5] Напряженное состояние и условия иницирования трещины в адгезионном слое композита / В. Э. Богачева, В. В. Глаголев, Л. В. Глаголев [и др.] // *Вестник Пермского национального исследовательского политехнического университета. Механика*. 2021. № 3. С. 22–34.
- [6] Mindlin R. Influence of rotary inertia and shear on flexural motions of isotropic, elastic plates // *ASME Journal of Applied Mechanics*. 1951. Vol. 18. P. 31–38.
- [7] Reissner E. On Bending of Elastic Plates // *Quarterly of Applied Mathematics*. 1947. Vol. 5, no. 1. P. 55–68.
- [8] Богачева В. Э. Исследование деформирования тонкого адгезионного слоя композита при воздействии нормальным отрывом // *Известия Тульского государственного университета. Технические науки*. 2023. № 7. С. 38–45.
- [9] Comparative evaluation of the Double-Cantilever Beam and Tapered Double-Cantilever Beam tests for estimation of the tensile fracture toughness of adhesive joints / R. M. Lopes, R. D. S. G. Campilho, F. J. G. da Silva et al. // *Journal of Adhesion and Adhesives*. 2016. Vol. 67. P. 103–111.
- [10] Tresca H. Memoires sur l'ecoulement des corps solides // *Memoires presentes par divers savants a l'Academie royaledes sciences*. 1868. Vol. 18, no. 1864. P. 733–799.
- [11] О влиянии механических характеристик тонкого адгезионного слоя на прочность композита. Часть 2. Упругопластическое деформирование / В. Э. Богачева, В. В. Глаголев, Л. В. Глаголев [и др.] // *Вестник Пермского национального исследовательского политехнического университета. Механика*. 2023. № 3. С. 30–42.

V.E. Bogacheva

## INVESTIGATION OF THE ELASTIC LIMIT OF A THIN ADHESIVE LAYER OF A COMPOSITE UNDER NORMAL SEPARATION LOADING

*Tula State University, Tula, Russia*

**Abstract.** Deformation under the action of normal separation of a composite plate consisting of two consoles connected by an adhesive layer in a state of flat deformation is investigated. From the general variational formulation, taking into account the Mindlin—Reissner theory, a differential formulation is obtained. An analytical solution obtained with complex roots of the characteristic equation of a system of second-order differential equations is investigated. Using the Tresca—Saint-Venant criterion, the value of the external load corresponding to the elastic limit and the onset of plastic deformations in the adhesive layer was found.

**Keywords:** adhesive layer, composite, interaction layer, normal separation, elastic deformation, Tresca—Saint-Venant criterion.

### REFERENCES

- [1] Prandtl L., Knauss W. G. A thought model for the fracture of brittle solids // International Journal of Fracture. 2011. Vol. 171, no. 2. P. 105–109.
- [2] Entov V. M., Salganik R. L. To the Prandtl model of brittle fracture // Izv. AN SSSR. MTT. 1968. no. 6. P. 87–99. (in Russian).
- [3] Salganik R. L., Mishchenko A. A., Fedotov A. A. Stress state in the vicinity of excavation in deep horizontal bed // Journal of Mining Science. 2015. no. 2. P. 24–33. (in Russian).
- [4] Makkintok F. Plastic aspects of destruction // Razrushenie. Moscow: Mir, 1975. Vol. 3. P. 67–262. (in Russian).
- [5] Stress state and conditions for crack initiation in the adhesion layer of the composite / V. E. Bogacheva, V. V. Glagolev, L. V. Glagolev et al. // PNRPU Mechanics Bulletin. 2021. no. 3. P. 22–34. (in Russian).
- [6] Mindlin R. Influence of rotary inertia and shear on flexural motions of isotropic, elastic plates // ASME Journal of Applied Mechanics. 1951. Vol. 18. P. 31–38.
- [7] Reissner E. On Bending of Elastic Plates // Quarterly of Applied Mathematics. 1947. Vol. 5, no. 1. P. 55–68.
- [8] Bogacheva V. E. Investigation of deformation of a thin adhesive layer of a composite under the influence of a normal separation // Izvestiya Tul'skogo gosudarstvennogo universiteta. Tekhnicheskiye nauki. 2023. no. 7. P. 38–45. (in Russian).
- [9] Comparative evaluation of the Double-Cantilever Beam and Tapered Double-Cantilever Beam tests for estimation of the tensile fracture toughness of adhesive joints / R. M. Lopes, R. D. S. G. Campilho, F. J. G. da Silva et al. // Journal of Adhesion and Adhesives. 2016. Vol. 67. P. 103–111.
- [10] Tresca H. Memories on the collapse of solidus bodies // Memoirs presented by various scholars at the Royal Academy of Sciences. 1868. Vol. 18, no. 1864. P. 733–799. (in French).
- [11] On the influence of the mechanical characteristics of a thin adhesion layer on the composite strength. Part 2. Elastic-plastic deformation / V. E. Bogacheva, V. V. Glagolev, L. V. Glagolev et al. // PNRPU Mechanics Bulletin. 2023. no. 3. P. 30–42. (in Russian).

---

*Bogacheva Viktoriya Eduardovna*, Postgraduate, Department of Computational Mechanics and Mathematics, Tula State University, Tula, Russia.